

Effect of Mechanical Stimulations on the Fate of Stem Cells – A Review

Majid Halvaei¹, Atefeh Solouk², Nabiollah Abolfathi², Nooshin Haghhighipour^{3*}, Mahnaz Eskandari², Mohammad Ali Shokrgozar^{4}**

- 1- M.Sc. Student, Department of Tissue Engineering, Faculty of Biomedical Engineering, Amirkabir University of Technology, Tehran, Iran
2- Assistant Professor, Department of Tissue Engineering, Faculty of Biomedical Engineering, Amirkabir University of Technology, Tehran, Iran
3- Assistant Professor, National Cell Bank of Iran, Pasteur Institute of Iran, Tehran, Iran
4- Professor, National Cell Bank of Iran, Pasteur Institute of Iran, Tehran, Iran

*Corresponding Address: P.O.Code: 1316943551, Pasteur Ave., 12 Farvardin, 69, Pasteur Institute of Iran, National Cell Bank of Iran, Tehran, Iran
Email: haghhighipour@pasteur.ac.ir

**Corresponding Address: P.O.Code: 1316943551, Pasteur Ave., 12 Farvardin, 69, Pasteur Institute of Iran, National Cell Bank of Iran, Tehran, Iran
Email: mashokrgozar@pasteur.ac.ir

Received: 30/Oct/2013, Accepted: 30/Dec/2013

Abstract

The provision of an adequate quantity of cells with proper function and purity is one of the main challenges of tissue engineering studies. Stem cells, with their self-renewal and differentiation capacity, are considered one of the main cell sources in the field of tissue engineering. Previously, the use of chemical factors seemed to be the only possible way for stem cell differentiation. However, scientists have recently realized that physiological processes of the human body are composed of chemical, mechanical and electrical signals. Mechanical stimulation is one of the current methods that produce cells with proper morphology and alignment in the scaffold. Specific differentiation, a higher rate of cell growth, proliferation and differentiation, and lower experiment costs can be achieved using mechanical stimulation. Different parameters such as the chemical environment, physical environment that surrounds the cell (including geometry, stiffness and topology of scaffold surface), amplitude, frequency, and duration of mechanical stimulation can affect the stem cell fate. In this study we have investigated the impact of all types of mechanical stimulations under different loading regimes on the fate of stem cells with respect to the target tissue. The result has been reflected in the design of a proper bioreactor.

Keywords: Mechanical stimulation, Bioreactor, Tissue engineering, Stem cell fate, Cell biomechanics

Modares Journal of Medical Sciences: *Pathobiology*, Vol 16, No 3, Autumn 2013, Pages: 1-23

مروری بر تأثیر تحریکات مکانیکی بر سرنوشت سلول‌های بنیادی

مجید حلوایی^۱، عاطفه سلوک^۲، نبی الله ابوالفتحی^۳، نوشین حقیقی‌پور^{۴*}، مهناز اسکندری^۵، محمدعلی شکرگزار^{۶**}

۱- دانشجوی کارشناسی ارشد، گروه مهندسی بافت، دانشکده مهندسی پزشکی، دانشگاه صنعتی امیرکبیر، تهران، ایران

۲- استادیار، گروه مهندسی بافت، دانشکده مهندسی پزشکی، دانشگاه صنعتی امیرکبیر، تهران، ایران

۳- استادیار، بانک سلوی ایران، انتیتو پاستور ایران، تهران، ایران

۴- استاد، بانک سلوی ایران، انتیتو پاستور ایران، تهران، ایران

۵- استاد، بانک سلوی ایران، انتیتو پاستور ایران، تهران، ایران

*آدرس نویسنده مسئول: ایران، تهران، کدپستی: ۱۳۱۶۹۴۳۵۵۱، خیابان پاستور، خیابان ۱۲ فروردین، انتیتو پاستور ایران، بانک سلوی ایران
Email: haghhighipour@pasteur.ac.ir

**آدرس نویسنده مسئول: ایران، تهران، کدپستی: ۱۳۱۶۹۴۳۵۵۱، خیابان پاستور، خیابان ۱۲ فروردین، انتیتو پاستور ایران، بانک سلوی ایران
Email: mashokrgozar@pasteur.ac.ir

پذیرش مقاله: ۹۲/۱۰/۰۹

دریافت مقاله: ۹۲/۰۸/۰۸

چکیده

تأمین منبع سلوی با عملکرد مناسب به مقدار کافی و نیز خلوص مناسب یکی از چالش‌های اساسی پیش روی مطالعات مهندسی بافت بوده است. با توجه به ویژگی‌های سلول‌های بنیادی (خود نوزایی و قابلیت تمایز)، این سلول‌ها یکی از منابع اصلی سلوی مورد استفاده در حوزه مهندسی بافت به حساب می‌آیند. در گذشته استفاده از عوامل شیمیایی تنها راه تمایز سلول‌های بنیادی به نظر می‌رسید، اما با توجه به بررسی‌های انجام شده، دانشمندان دریافتند که در فرآیندهای فیزیولوژیک بدنه، ترکیب پیچیده‌ای از انواع پیام‌های شیمیایی، مکانیکی و الکتریکی درگیر است. امر ورژه از تحریک‌های مکانیکی به منظور تولید سلول‌های با ریخت‌شناسی و جهت‌گیری مناسب درون داریست استفاده می‌شود. به علاوه، با استفاده از این نوع تحریک‌ها می‌توان به تمایز اختصاصی، افزایش سرعت رشد، تکثیر و تمایز و هزینه کمتر نسبت به استفاده از عوامل شیمیایی دست یافت. پارامترهای مختلفی نظری محیط شیمیایی، محیط فیزیکی اطراف سلول (شامل هندسه، سختی و توپولوژی سطح داریست)، دامنه، فرکانس و مدت زمان اعمال تحریک مکانیکی همگی می‌توانند سرنوشت سلول‌های بنیادی را تحت تأثیر قرار دهد. در این گزارش به بررسی اثر انواع تحریک‌های مکانیکی (تحت رژیم‌های بارگذاری متفاوت) بر سرنوشت سلول‌های بنیادی با توجه به یافته حاصل از آنها پرداخته شده است و نتیجه حاصل در طراحی راکتور زیستی مناسب آنها منعکس شده است.

کلیدواژگان: تحریک مکانیکی، راکتور زیستی، مهندسی بافت، سرنوشت سلول بنیادی، بیومکانیک سلول

مجله علوم پزشکی مدرس: آسیب‌شناسی زیستی، دوره ۱۶، شماره ۳ پاییز ۱۳۹۲، صفحات: ۱-۲۳

مقدمه

این سلول‌ها یکی از منابع اصلی مورد استفاده در حوزه مهندسی بافت به حساب می‌آیند. سلول‌های بنیادی هنوز تخصصی نشده‌اند و قابلیت تمایز به سایر رده‌های سلولی را دارند. این سلول‌ها به دسته‌های مختلفی تقسیم‌بندی می‌شوند

مهندسی بافت بر چهار اصل سلول، تحریک، داربست و راکتور زیستی استوار است [۱، ۲]. منبع سلوی مناسب یکی از چالش‌های مهم پیش روی محققان است. با توجه به ویژگی‌های سلول‌های بنیادی (خود نوزایی و قابلیت تمایز)،

تحریک مکانیکی و سلول‌های بنیادی

انواع تحریک‌های مکانیکی که روی سلول‌ها بررسی شده، شامل تنش فشاری، تنش برشی و تنش کششی است. معمولاً تنش کششی توسط پارامتر کرنش (Strain) معرفی و بررسی می‌شود، همچنین در برخی مقالات تنش فشاری هم به صورت کرنش مطالعه شده است [۱۰-۱۲].

تاریخچه بررسی تأثیر تحریک مکانیکی بر رفتار سلول‌ها به قرن ۱۷ میلادی باز می‌گردد؛ زمانی که گالیلهو (Galileo) برای اولین بار به بررسی تأثیر بارگذاری‌های مکانیکی بر ریخت‌شناسی استخوان‌ها پرداخت [۱۳]. بعد از آن ون‌میر (Von Meyer) به بررسی جهت‌گیری تراپکولاهای (Trabeculae) در استخوان اسفنجی پرداخت. یک مهندس مکانیک به نام کولمن (Culmann) با همکاری ون‌میر تئوری ترجکتوری (Trajectory) را در سال ۱۸۶۷ میلادی ارایه داد که بر اساس آن تراپکولاهای در راستای تنش‌های اصلی وارد بر استخوان جهت‌گیری می‌کنند. سپس ولف (Wolff) در سال ۱۸۹۲ میلادی قانون ولف را ارایه نمود که طبق آن با تغییر بارگذاری روی استخوان، جهت‌گیری تراپکولاهای نیز تغییر می‌کند [۱۴-۱۶]. اما اولین مطالعات آزمایشگاهی مربوط به بررسی تأثیر تحریک مکانیکی بر رفتار سلول به سال ۱۹۳۹ میلادی باز می‌گردد، زمانی که شخصی به نام گلوكسمان (Glucksmann) بارگذاری‌های مختلفی را بر سلول‌های زیادی در این زمینه انجام شد و تابه امروز روش‌ها و دستگاه‌های مختلفی برای بررسی آثار تحریک‌های مکانیکی بر رفتار سلول به کار بردند شده است. اکثر پژوهش‌های انجام شده در زمینه بررسی اثر تحریک مکانیکی بر سرنوشت سلول با الهام از بارگذاری‌های طبیعی انجام شده است [۱۹].

mekanisem‌های مختلفی برای تبدیل تحریک مکانیکی به تحریک فیزیولوژیک قابل درک برای سلول پیشنهاد شده است. در کل می‌توان فرآیند تبدیل تحریک مکانیکی را به سه بخش تقسیم نمود. ابتدا تحریک توسط گیرنده‌های مکانیکی سطح

که یکی از مهم‌ترین تقسیم‌بندی‌ها، بر اساس میزان توان تمایزی آن‌ها است. این سلول‌ها بر اساس توانایی تمایز به رده‌های مختلف به سه دستهٔ همه‌توان، پرتوان و چندتوان تقسیم می‌شوند [۳، ۴].

سلول‌های همه‌توان قابلیت تمایز به سمت همه رده‌های سلولی انسان بالغ، به علاوه سلول‌های جفت و بند ناف را دارند. سلول‌های پرتوان نیز مانند سلول‌های همه‌توان قادر هستند به همه رده‌های سلولی بدن انسان بالغ تمایز یابند، اما این گروه بر خلاف سلول‌های همه‌توان قادر به تمایز به سمت سلول‌های جفت و بند ناف نیستند. گروه بعدی سلول‌های بنیادی، سلول‌های چندتوان هستند که تنها می‌توانند به رده‌های خاصی از سلول‌ها (معمولًا سلول‌های بافتی که در آن قرار دارند) تمایز یابند (سلول‌های مزانشیمال جز این گروه هستند) [۴، ۳].

استفاده از سلول‌های بنیادی با مشکلاتی نظری سرعت تکثیر و تمایز، خلوص سلول‌های تمایز یافته به دست آمده، جهت‌گیری مناسب سلول‌ها در داریست و نیز داشتن سلول‌هایی با عملکرد مناسب، رو به رو است. به علاوه، سلول‌های بنیادی مزانشیمال در محیط آزمایشگاه خاصیت تمایزی و تکثیر خود را از دست می‌دهند که باید با روش‌های مختلف فیزیکی و شیمیایی مانع این فرآیند شد. با توجه به پیشرفت‌های صورت گرفته در زمینه تمایز سلول‌های بنیادی، مشخص شده است که محرک‌های شیمیایی تنها تحریک‌های تعیین‌کننده سرنوشت سلول نیست و محرک‌های فیزیکی نظری تحریک‌های مکانیکی، الکتریکی و نیز هندسه سطح بر سرنوشت سلول تأثیرگذار است [۵-۹].

یکی از روش‌های شناخته شده برای تمایز انتخابی سلول‌های بنیادی، تحریک‌های مکانیکی است. این روش با داشتن مزایایی نظری افزایش سرعت رشد و تکثیر، هزینه کمتر نسبت به استفاده از عوامل شیمیایی، قدرت تمایز انتخابی با خلوص بالا و تولید سلول‌هایی با عملکرد و ریخت‌شناسی (Morphology) مناسب، بسیار مورد توجه قرار گرفته است.

سلولی، دو حالت مورد بررسی قرار می‌گیرد: ۱- سلول‌ها به صورت تک لایه تحت یک نوع تنفس خاص قرار می‌گیرند [۲۶] و ۲- سلول‌ها درون یک داریست سه بعدی بررسی می‌شوند [۱۰، ۱۱، ۲۴، ۲۷، ۲۹]. در حالت اول یعنی تحریک تک لایه‌ای از سلول‌ها، تأثیر داریست بر سلول به حداقل مقدار خود می‌رسد، این در حالی است که در حالت سه بعدی، در واقع کامپوزیت (Composite) داریست- سلول ارزیابی می‌شود.

تحریک مکانیکی تک سلول با دو هدف اصلی انجام می‌گیرد: مدل‌سازی سلول [۳۰] و بررسی تأثیر تحریک مکانیکی بر رفتار سلول [۳۲-۳۰]. هدف از مدل‌سازی سلول، ارایه مدل مناسبی از سلول و بررسی خواص مکانیکی آن است. این مطالعات می‌تواند روش مناسبی برای تشخیص سلول‌های سالم از ناسالم و نیز مدل مناسبی از سلول در مراحل مختلف رشد، تکثیر، تمایز و مهاجرت سلول با حذف آثار تماس سلول‌ها با یکدیگر و نیز محیط اطراف فراهم آورد. هدف دیگر بررسی تأثیر تحریک مکانیکی بر تک سلول، مطالعه رفتار تک سلول در اثر تحریک مکانیکی است.

روش‌های متداول تحریک تک سلول شامل استفاده از دستگاه AFM (Atomic Force Microscopy)، گیره نوری، Microrheometry of Magnetic (میکرومتری گله مغناطیسی) (Bead) و استفاده از میکروپیپت است [۳۳-۳۰]. شکل ۱ انواع روش‌های مورد استفاده برای تحریک تک سلول را به صورت شماتیک نمایش می‌دهد [۳۰]. البته امروزه ریز تراشه نیز برای به دام انداختن سلول بدون آسیب رساندن به آن طراحی و ساخته شده است که معمولاً با استفاده از میدان‌های جریان سیال ایجاد شده در آن‌ها می‌توان سلول را در محل مورد نظر به دام انداخت. سپس با قرارگیری سلول در محل تعیین شده و چسبیدن آن به بستر، می‌توان تحریک مورد نظر را به آن وارد کرده و تأثیرات آن را مشاهده نمود [۳۲، ۳۱].

تا به حال مدل‌های مکانیکی مختلفی برای سلول و ساختار درون آن معرفی شده که هر یک از جنبه خاصی به سلول نگاه کرده است. اما از آنجا که سلول یک ساختار کامپوزیتی بسیار

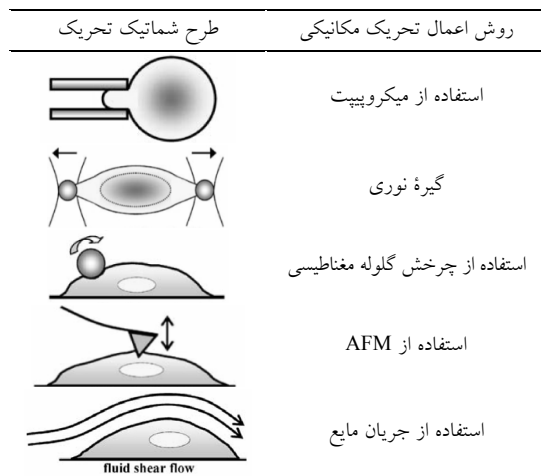
سلول دریافت و به داخل سلول منتقل می‌شود. سپس این تحریک به درون سلول و به سمت گیرنده هدف منتقل می‌شود. به نظر می‌رسد سلول‌ها از راههای شیمیایی یا اسکلت سلولی خود برای انتقال تحریک استفاده می‌نمایند. در نهایت بخش هدف باید فعال شود تا فعالیت مورد نظر (مثلاً بیان یک ژن) انجام گیرد [۲۰، ۲۱]. گیرنده‌های مکانیکی شناخته شده که در فضای بین داخل و خارج سلول قرار دارد، شامل ایتگرین‌ها (Integrins)، کانال‌های یونی حساس به کشش و پروتئین‌های سطح سلول است. انتقال تحریک نیز به دو روش از طریق اسکلت سلولی و به صورت بیوشیمیایی انجام می‌شود [۱۶، ۲۰-۲۳]. انتقال یک تحریک مکانیکی به صورت انتشار موج مکانیکی بسیار سریع تر از انتقال تحریک به صورت شیمیایی است. طبق نتایج ارایه شده، انتقال تحریک از طریق انتشار مکانیکی در حدود ۱ تا ۵ میلی ثانیه به طول می‌انجامد و این در حالی است که انتقال شیمیایی آن از طریق نفوذ یا جابه‌جایی در حدود ۵ تا ۱۰ ثانیه زمان نیاز دارد. بنابراین مسیرهای شیمیایی تنها مسیر انتقال تحریک مکانیکی به سمت هسته نیست و انتقال از طریق انتشار موج مکانیکی و تبدیل آن به تحریک شیمیایی در سطح هسته می‌تواند مسیر دیگری برای این انتقال در نظر گرفته شود [۲۰]. با وجود مطالعات زیادی که در زمینه بررسی مسیرهای دریافت، انتقال و تبدیل تحریک‌های مکانیکی انجام شده است، مکانیسم دقیق این فرایند همچنان ناشناخته است [۲۰]. تا به حال انواع سلول‌های بنیادی انسانی و جانوری تحت تحریک مکانیکی قرار گرفته که در بیشتر موارد سلول‌های مزانشیمال خرگوشی، انسانی، گاوی و موشی و سلول‌های بنیادی جنینی موش مطالعه شده است [۰، ۱۷، ۲۴، ۲۵].

در بررسی‌های تحریک مکانیکی سلول، سلول‌ها به صورت تک سلول یا گروه سلولی تحت تحریک مکانیکی قرار می‌گیرند. تحریک تک سلول عموماً به منظور مدل‌سازی، تشخیص بیماری از روی خواص مکانیکی سلول و نیز پی بردن به مکانیسم انتقال تحریک مکانیکی در سلول و تأثیر آن بر رفتار سلول به کار می‌رود اما در حالت تحریک گروه

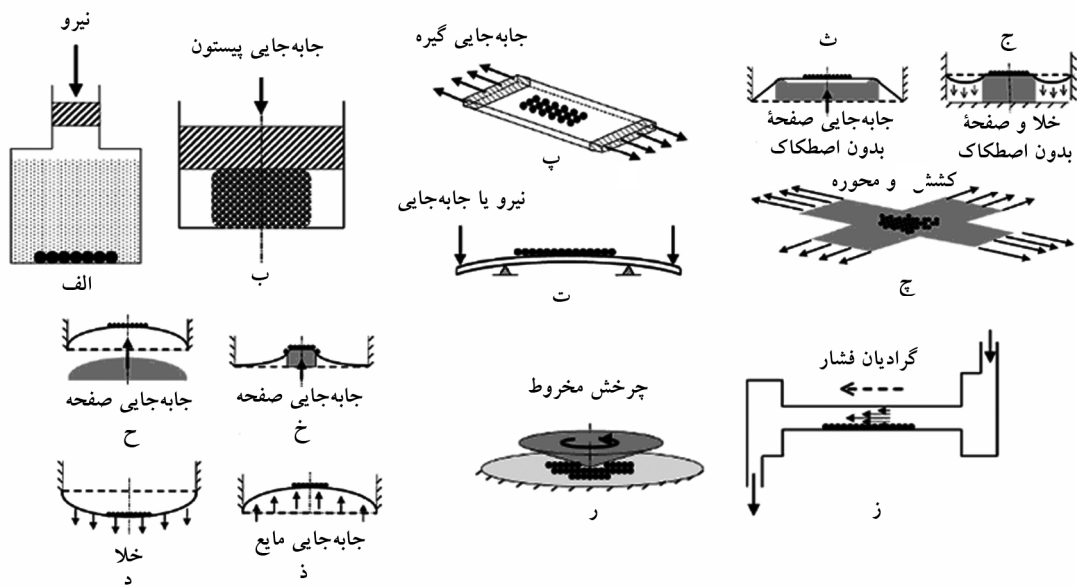
تحریک مکانیکی و سلول‌های بنیادی

در مورد تحریک سلول‌ها به صورت گروهی نیز روش‌های مختلفی ارایه شده که مهم‌ترین این روش‌ها در شکل ۲ خلاصه شده است [۱۶، ۱۷، ۵]. اکثر بافت‌های طبیعی بدن تحت ترکیبی از این تحریک‌ها قرار دارند. در مطالعات صورت گرفته در زمینه بررسی تأثیر تحریک مکانیکی بر سرنوشت سلول‌های بنیادی، گاهی تنها یکی از این روش‌ها بررسی شده که در این حالت عموماً تأثیر زمان بارگذاری، فرکانس، دامنه یا الگوی تکرار فرآیند بارگذاری مورد توجه بوده است [۱۰، ۱۱، ۱۳، ۲۶، ۳۸]. اما در برخی دیگر از مقالات بیشتر به تأثیر ترکیب بارگذاری‌ها توجه شده که ترکیب دو یا چند روش به طور همزمان با حالتی که تنها یک تحریک اعمال می‌شود مقایسه شده است [۱۱، ۱۰]. راکتورهای زیستی مورد استفاده برای تحریک سلول را می‌توان به دو دسته کلی میکروراکتورهای زیستی [۲۶، ۴۱-۴۹] و ماکروراکتورهای زیستی [۱۰، ۱۱، ۲۷، ۴۱، ۳۸] تقسیم نمود. هر یک از این راکتورهای زیستی خواصی دارد که در مطالعات مربوط به آن‌ها توجه شده است.

پیچیده است، هنوز مدل کاملی از رفتار مکانیکی آن ارایه نشده است [۳۶-۳۴]. بعضی از مدل‌های ساده، برخی از رفتارهای سلول را توجیه می‌کنند اما قادر به توجیه سایر رفتارها نیست [۳۷، ۳۰، ۳۴، ۱۶].



شکل ۱ نمایش انواع روش‌های اعمال تحریک مکانیکی به تک سلول [۳۰]



شکل ۲ روش‌های مختلف اعمال تحریک مکانیکی به سلول؛ (الف) فشار هیدرواستاتیک، (ب) استفاده از یک صفحه برای اعمال تنش فشاری روی ماتریس سلولی، (پ) کشش تک محوره، (ت) خمسمی نقطه‌ای، (ث) کشش همزمان شعاعی و محیطی با حرکت صفحه بدون اصطکاک، (ج) دستیابی به کرنش بستر شعاعی و محیطی به وسیله یک بخش ثابت و ایجاد خالاً در اطراف آن، (ج) کشش دو محوره، (ح) جابه‌جایی منحنی شکل، (خ) کشش به وسیله حرکت یک زایده به سمت بالا، (د) جابه‌جایی بستر به وسیله ایجاد خالاً در زیر آن، (ز) صفحه و مخروط به منظور تولید تنش برشی ناشی از سیال، (ز) محفظه تولید جریان موادی صفحه [۵]

فشاری قرار دهد [۳۹]

با توجه به این که اکثر پژوهش‌های انجام گرفته در زمینه بررسی تأثیر تحریک مکانیکی بر سرنشست سلول‌های بنیادی روی بافت هدف خاصی متمرکز شده است، در این مقاله نیز با توجه به بافت‌های هدف مختلف، رژیم‌های بارگذاری (شامل دامنه، فرکانس و مدت زمان اعمال تحریک)، نوع سلول اولیه، داربست مورد استفاده و راکتور زیستی مورد استفاده برای هر بافت بررسی خواهد شد.

تحریک‌های مکانیکی و تمایز به سمت سلول‌های استخوان

نوع راکتور زیستی تجاری که برای بافت‌های مختلف مورد استفاده قرار می‌گیرد، شامل اسپینر فلاسکها (Spinner Flask: SF)، راکتورهای زیستی پرفیوژن (Perfusion)، راکتورهای (Rotating Wall Vessel: RWV)، زیستی با چرخش دیواره‌ای (Rotating ZRP) [یک نوع راکتور زیستی با قابلیت چرخش بستر (Rotating Bed Bioreactor)] و راکتور زیستی با قابلیت چرخش دو محوره (Biaxial Rotating: BXR) است (شکل ۳). اگرچه مقایسه‌های زیادی بین این راکتورهای زیستی انجام شده اما مقایسه‌های سیستماتیک کمی بین آن‌ها صورت گرفته است. این راکتورهای زیستی علاوه بر اعمال تنفسی برشی ناشی از جریان سیال، با انتقال جرم مناسب، رشد و تکثیر سلول‌های درون داربست را بهبود می‌بخشد [۲۷، ۱۲].

یکی از مقایسه‌های سیستماتیک بین این راکتورهای زیستی توسط ژانگ (Zhang) و همکاران انجام شده است. این گروه، نوع بیوراکتور پرفیوژن، SF، RWV و راکتور زیستی BXR را با هم مقایسه نموده‌اند. داربست‌های مورد استفاده توسط این گروه از جنس PCL-TCP (پلی کاپرولاتون-تری کلسیم فسفات: Polycaprolactone-Tricalcium Phosphate) بوده و همه بیوراکتورها ابتدا تحت یک آزمایش اولیه به منظور یافتن شرایط بهینه قرار گرفت و سپس در آزمایش بعدی، تأثیر نوع نفوذ و

ماکروراکتورهای زیستی با داشتن خواصی نظری تبادل مواد غذایی و گازی بهتر، فرآیند طراحی و ساخت آسان‌تر، امکان استفاده از محرك‌های متداول برای اعمال تحریک‌ها و نیز توانایی اعمال تنفسی با دامنه‌های زیاد مورد توجه است. اما اشغال حجم زیادی از آزمایشگاه، اشغال کامل انکوباتور یا عدم امکان قرارگیری در انکوباتور (به دلیل حجم بزرگ آن)، نیاز به محیط کشت و عامل رشد بیشتر، نیاز به تعداد سلول بیشتر برای هر آزمایش (در نتیجه عدم امکان استفاده از یک گروه سلولی برای چندین آزمایش) و در نهایت افزایش هزینه آزمایش‌ها با محدودیت‌هایی مواجه است. در ادامه ماکروراکتورهای زیستی مورد استفاده برای تحریک مکانیکی سلول‌ها به منظور تمایز به سمت بافت‌های هدف متفاوت بررسی می‌شود.

عمر پیدایش میکروراکتورهای زیستی کمتر از ماکرو-راکتورهای زیستی است و پیدایش آن‌ها تقریباً به یک دهه گذشته باز می‌گردد. میکروراکتورهای زیستی با داشتن خواصی نظری هزینه ساخت کمتر، یکبار مصرف بودن [۴۰]، دقت اعمال تحریک بالاتر، قابلیت استفاده از یک گروه سلولی در چندین آزمایش (با توجه به نیاز به تعداد سلول کمتر برای هر آزمایش)، قابلیت اعمال تحریک کنترل شده، نسبت سطح به حجم بالاتر، حجم کوچک و قابلیت قرارگیری در انکوباتور و نیز اشغال فضای کمی از آزمایشگاه، مصرف انرژی کمتر و نیاز به حجم مواد شیمیابی کمتر، امروزه مورد توجه قرار گرفته است. اما مشکلات مربوط به طراحی و ساخت، نیاز به محرك‌های خاص و عدم تبادل مناسب مواد غذایی و گازها، استفاده از این ریز تراشه‌ها را تاحدی با محدودیت مواجه کرده است. میکروراکتورهای زیستی زیادی برای کارهای سلولی با هدف‌های مختلفی طراحی و ساخته شده‌است. برای مثال گروه وو (Wu) یک سیستم ریز سیالاتی با قابلیت اعمال تحریک شیمیابی و مکانیکی طراحی نموده‌است. بافت هدف مورد نظر آن‌ها سلول‌های چربی بوده است. این دستگاه با داشتن محفظه‌های رقیق‌سازی می‌تواند غلظت مواد شیمیابی در محیط کشت را کنترل نماید؛ همچنین قادر است سلول‌ها را تحت تنفس

تحریک مکانیکی و سلول‌های بنیادی

استخوان روی یک بستر انعطاف‌نایذیر کشت داده شد و ۲ بار در روز و هر بار به مدت ۱۰ دقیقه، تحت فشار هوای ۵ کیلوپاسکال و فرکانس ۱ هرتز قرار گرفت و این کار به مدت یک هفته ادامه یافت. در این تحقیق به منظور مقایسه نتایج، سلول‌های گروه کترل درون همان چیپ قرار داده شد، با این تفاوت که سلول‌های این گروه، تحت تحریک مکانیکی قرار نمی‌گرفت. در این آزمایش‌ها از محیط رشد استخوان، بدون عوامل رشد استفاده شد تا تنها اثر تحریک مکانیکی بر سلول‌ها بررسی شود. هدف این گروه، علاوه بر بررسی امکان استفاده از این ریز تراشه برای تمایز سلول‌های بنیادی، بررسی تأثیر دامنه‌های بارگذاری متفاوت بر سرنوشت سلول نیز بوده است. نتایج این گروه نشان داد که با رژیم بارگذاری انتخاب شده توسط آن‌ها، سرعت تکثیر سلول‌ها در گروه تحت تحریک ۱/۵ برابر بیشتر از سلول‌های گروه کترول بوده اما در کل نسبت به حالت استفاده از ماکروراکتورهای زیستی سرعت تکثیر کاهش یافته است. یکی از دلایل آن می‌تواند کاهش انتقال گاز و مواد غذایی باشد. به علاوه نتایج کار آن‌ها نشان دهنده آن است که استفاده از این ریز تراشه تحت تحریک می‌تواند این رژیم بارگذاری القای مراحل اولیه تولید بافت استخوان را سبب می‌شود [۲۶].

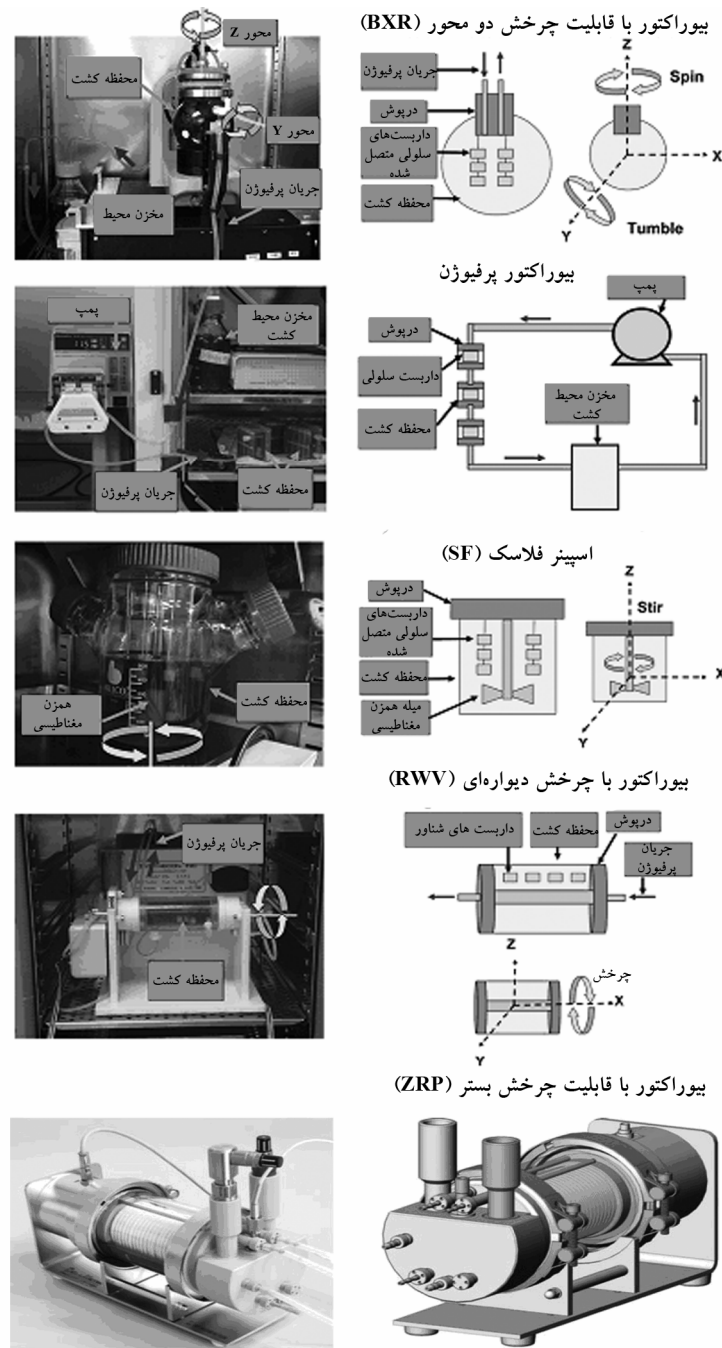
گروه ون گرینسون (vanGriensven) از سلول‌های بنیادی به دست آمده از مغز استخوان انسان و سلول‌های بنیادی به دست پژوهش سلول‌ها روی ظروف سیلیکونی کشت داده شده و تحت کرنش دروهای ۵ درصد با فرکانس ۱ هرتز قرار گرفتند. هدف این پژوهش بررسی تأثیر زمان بارگذاری و تکرار فرآیند بر رفتار سلول‌های بنیادی بوده است. به همین دلیل سلول‌ها به مدت زمان‌های ۱۵ دقیقه، ۶۰ دقیقه و ۲ ساعت تحت تحریک مکانیکی قرار گرفتند. هر یک از این رژیم‌های بارگذاری ۳ مرتبه تکرار شد و هر بار نتایج بارگذاری‌ها بررسی شد. در کل می‌توان نتیجه گرفت که اگر چه افزایش زمان هر دوره بارگذاری می‌تواند باعث آسیب رسیدن به سلول‌ها شود اما می‌تواند بیان نشانگرهای افزایش دهد. همچنین این نتایج نشان

بارگذاری بر تکثیر و تمایز سلول‌ها بررسی شد [۲۹، ۲۷، ۲۴]. طبق نتایج حاصل از این بررسی‌ها، ساختار متخلخل داربست‌های درون راکتور زیستی BXR، کاملاً توسط بافت جدید پر شد، در حالی که در سایر راکتورهای زیستی این حالت مشاهده نشد. همچنین سطح رسوب نمک‌های کلسیم فسفات در داربست‌های درون راکتور زیستی BXR نسبت به سایر راکتورهای زیستی بالاتر بود و بعد از آن به ترتیب راکتورهای زیستی پرفیوژن، SF و RWV قرار داشت. با توجه به این داده‌ها می‌توان دریافت که BXR با حالت چرخش دو محوره خود بیشترین توزیع سلولی، کمترین آسیب سلولی، بیشترین درصد تمایز و بیشترین مقدار رشد را به دنبال داشته است [۲۴، ۲۹]. در مورد القای تمایز به سمت بافت استخوان، راکتور زیستی BXR بیشترین مقدار تمایز و بعد از آن به ترتیب راکتورهای زیستی SF، پرفیوژن و RWV قرار (Sikavitsas) داشته است. این نتیجه با نتایج کار سیکاویتساس (Meinel) در تناقض است [۴۳، ۴۲، ۲۷]. مقایسه‌های دیگری نیز بین این راکتورهای زیستی انجام شده است که برخی از آن‌ها نتایجی مغایر با یکدیگر را نشان داده‌اند. برای مثال نتایج پژوهش میلن و همکاران بیان می‌کند که راکتور زیستی SF نسبت به راکتور زیستی پرفیوژن برای تمایز به سمت بافت استخوان مناسب‌تر است و این موضوع با نتایج کار گولدستین (Goldstein) و همکاران در تناقض است. این تناقض‌ها می‌تواند به دلیل تفاوت در نوع سلول‌های مورد استفاده در هر آزمایش، اندازه داربست‌های به کار برده شده، میزان و اندازه تخلخل‌ها، ماده مورد استفاده برای داربست‌ها و نوع و زمان بارگذاری‌های متفاوت باشد [۴۳، ۴۲، ۲۷].

سیم (Sim) و همکاران با طراحی یک ریز تراشه بادی (Pneumatic) به بررسی تأثیر تنش فشاری بر سرنوشت سلول‌های بنیادی مزانشیمال انسانی پرداخته‌اند. برای این منظور، سلول‌های بنیادی مزانشیمال انسانی به دست آمده از مغز

همان‌طور که در جدول ۱ نشان داده شده است کشش تک محوره، کشش دو محوره و تنش فشاری به تمایز سلول‌های بنیادی به سمت سلول‌های استخوانی کمک می‌کند.

داد که تکرار فرآیند باعث تطابق سلول‌ها با تحریک مکانیکی شده و آسیب سلولی را کاهش می‌دهد اما باعث کاهش سرعت بیان نشانگرهای نیز می‌شود [۱۲].



شکل ۳ طراحی و الگوی کار سیستم‌های راکتور زیستی [۱۲، ۲۷]

تحریک مکانیکی و سلول‌های بنیادی

جدول ۱ خلاصه‌ای از رژیم‌های پارگذاری مختلف روی انواع سلول‌های بنیادی به منظور تمايز به سمت سلول‌های استخوان

مراجع	خلاصه نتایج	شرایط بارگذاری	نوع بارگذاری	سلول مورد استفاده
[۳۵]	افزایش بیان ژن‌های cBfα1، OCN و ALP	کشش یکسان دو محوره دوره‌ای ۳ درصد، ۸ ساعت	کشش یکسان دو محوره دوره‌ای (hMSC انسانی)	سلول بنیادی مزانشیم
[۴۴]	افزایش بیان ژن cBfα1 و افزایش فعالیت ALP	کشش یکسان دو محوره ۸ درصد و ۵ درصد، ۶ ساعت	کشش یکسان دو محوره	رده سلول بنیادی مغز ST-12 استخوان موش،
[۴۵]	افزایش بیان ژن‌های cBfα1، OCN، ALP، BMP-2، کلاژن نوع ۱ و ۳	کشش تک محوره ۸ درصد، ۳ روز	کشش تک محوره دوره‌ای	hMSC
[۱۲]	در سلول BMSC پس از کرنش ۶۰ دقیقه‌ای معدنی‌سازی به طور معنی‌داری افزایش یافت اما در گروه کنترل و گروه تحت کرنش ۱۵ دقیقه‌ای معدنی‌سازی مشاهده نشد. در مورد AdMSC ها: گروه تحت کرنش ۱۵ دقیقه‌ای: یکبار تحریک افزایش بیان کلاژن نوع ۳ نسبت به گروه کنترل. ۳ بار تکرار تحریک افزایش بیان استئوپونتین (Osteopontin) و BMP-2	کشش تک محوره ۵ درصد، فرکانس ۱ هرتز، ۱۵ دقیقه، ۶۰ دوره‌ای دقیقه و ۲ ساعت	کشش تک محوره دوره‌ای	سلول بنیادی مزانشیمال مغز استخوان و چربی انسان (hBMSC و hASC)
[۴۶]	گروه تحت کرنش ۶۰ دقیقه‌ای: یک دوره تحریک افزایش بیان آلکالین بسفات، استئوپونتین، استئوکلسین (Osteocalcin)، BMP-4، BMP-2، افزایش بیش از حد کلاژن نوع ۳؛ با تکرار تحریک مقدار کلاژن نوع ۳ نسبت به یک بار تحریک کاهش پیدا کرد. کرنش ۲ ساعته: افزایش جزیی استئوکلسین، استئوپونتین و BMP-2 نسبت به گروه کنترل اما تکرار تحریک چنین تأثیری را نداشته است.	کشش تک محوره ۲۰۰۰ میکروپاسیلون، ۴۰ دقیقه دوره‌ای	کشش تک محوره دوره‌ای	سلول موسی BMSC
[۴۷]	افزایش بیان ژن‌های cBfα1، Ets-1 و ALP، افزایش تکثیر mRNA افزایش سطح BMP-2 و mRNA	۱۰ درصد و ۱۲ درصد، ۴ ساعت در روز به مدت ۷ و ۱۴ روز درون ماتریس کلاژن	کشش تک محوره دوره‌ای	hMSC
[۲۶]	افزایش فعالیت ALP، افزایش بیان CD-90 و عدم تغییر در بیان CD-105 و CD-29	۵ کیلوپاسکال، فرکانس ۱ هرتز، ۲ بار در روز و هر بار به مدت ۱۰ دقیقه، ۱ هفته	تنش فشاری دوره‌ای	hMSC

(hASC=human adipose derived stem cell .hBMSC=human bone marrow derived stem cell .hMSC=human mesenchymal stem cell)

تحریک‌های مکانیکی و تمایز به سمت سلول‌های غضروف

صفشکن و همکاران به مقایسه تأثیر تحریک مکانیکی،

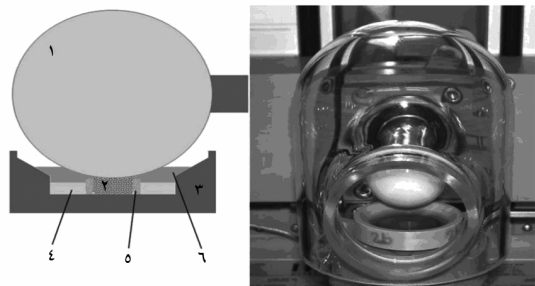
شیمیایی و ترکیب این دو تحریک بر سلول‌های بنیادی به‌دست آمده از بافت چربی انسان پرداختند. راکتور زیستی ساخته شده توسط این گروه قادر است تنفس هیدرواستاتیک تا ۸ مکاپاسکال را به سلول‌ها اعمال نماید، اما رژیم بارگذاری انتخاب شده

گوی سرامیکی به قطر ۳۲ میلی‌متر و مکانی برای قرارگیری داربست در زیر آن تشکیل شده است. این دستگاه قادر است تنش فشاری و برشی را بر داربست و سلول‌های درون آن اعمال کند. با حرکت عمودی گوی سرامیکی به سمت داربست، کامپوزیت سلول-داربست تحت تنش فشاری تک محوره قرار می‌گیرد و با چرخش گوی، تنش برشی بر داربست و سلول‌ها اعمال می‌شود. این دستگاه قادر است هر دو نوع تنش فشاری و برشی را به صورت استاتیکی یا دینامیکی به طور همزمان و یا به صورت جداگانه به داربست اعمال نماید (شکل ۴). دو گروه مختلف به سرپرستی لی (Li) و اسکاتی (Schatti) با استفاده از این راکتور زیستی به بررسی تأثیر تحریک مکانیکی بر تمایز سلول‌های بنیادی به سمت بافت غضروف پرداخته‌اند [۱۰، ۱۱].

لی و همکاران تأثیر ترکیب فشار دوره‌ای نک محوره و تنش برشی سطحی بر سلول‌های بنیادی مزانشیمال انسانی را درون داربست فیبرین-پلی پورتان (Fibrin-Polyurethane) مطالعه نموده‌اند. هدف اصلی آن‌ها اعمال دامنه و فرکانس‌های بارگذاری متفاوت بوده است تا بتوانند رژیم بارگذاری مناسب برای تمایز به سمت رده غضروف را به دست آورند. فرکانس‌های ۰/۱ هرتز و ۱ هرتز و دامنه کرنش ۵، ۱۰ و ۲۰ درصد برای تحریک سلول‌ها انتخاب شد. بارگذاری مکانیکی، ۱ ساعت در روز و به مدت ۷ روز بر سلول‌ها اعمال شد. نتایج مطالعه نشان داد که کشت سلول‌های بنیادی مزانشیمال انسانی در داربست سه بعدی در محیط آزمایشگاه توسط فرکانس و دامنه بارگذاری فشاری و برشی تنظیم می‌شود. بین بازه‌های بارگذاری انتخاب شده، رژیم‌های ۰/۱ هرتز و ۲۰ درصد، ۱ هرتز و ۱۰ درصد، و ۱ هرتز و ۲۰ درصد بیشترین تأثیر را بر تمایز به سمت بافت غضروف داشته‌است [۱۰].

میزان تولید Glycosaminoglycan (GAG) یکی از پارامترهای مهم تمایز به سمت بافت غضروف است. به علاوه زمانی که سلول‌های بنیادی مزانشیمال (Mesenchymal Stem

برای این آزمایش‌ها به صورت تشن ۵ مگاپاسکال با فرکانس ۰/۵ هرتز است. این گروه سلول‌ها را در ۴ دسته با یکدیگر مقایسه نمودند. سلول‌های گروه اوی تحت هیچ تحریک مکانیکی و شیمیایی قرار نداشتند (گروه کنترل منفی)، گروه دوم تنها تحت تنش مکانیکی، گروه سوم تنها تحریک شیمیایی و گروه چهارم تحت ترکیبی از تحریک‌های شیمیایی و مکانیکی قرار داشتند. همچنین بافت غضروف مفصل آرنج انسان به عنوان گروه کنترل مثبت در نظر گرفته شد. در این تحقیق سلول‌ها به مدت ۷ روز تحت تنش هیدرواستاتیکی ۵ مگاپاسکال با فرکانس ۰/۵ هرتز و به مدت ۴ ساعت در روز قرار گرفتند. نتایج حاصل از این مطالعه نشان داد که تحریک مکانیکی قادر است باعث تمایز سلول‌های بنیادی به سمت بافت غضروف شود اما اعمال تحریک مکانیکی در محیط تولید غضروف، بیان نشانگرهای غضروفی (Collagen II و Sox9) و Aggrecan را افزایش می‌دهد و در این حالت بیان نشانگرهای بیشتر از سایر گروه‌ها به نشانگرهای بیان شده در غضروف انسان نزدیک است [۱۱].



شکل ۴ راکتور زیستی طراحی شده با الهام از حرکت غضروف مفصلی؛ (۱) گوی سرامیکی، (۲) کامپوزیت سلول-داربست، (۳) محل نگهداری مکانیکی، (۴) محیط کشت، (۵) حلقه نگهدارنده، (۶) رینگ نگهدارنده داربست، (۷) محیط کشت [۱۱]

یکی از راکتورهای زیستی مکانیکی که با الهام از بارگذاری طبیعی غضروف مفصلی، طراحی و ساخته شده است، از یک

تحریک مکانیکی و سلول‌های بنیادی

متفاوت (۱۳ تا ۱۰۳ کیلوپاسکال یا به صورت مرحله‌ای ۱۳ به ۵۴ به ۱۰۳ کیلوپاسکال) قرار گرفتند. این گروه نشان داد که سطوح پایین تنفس (۱۳ کیلوپاسکال و ۰/۳ هرتز) به طور معنی‌داری تولید بافت غضروف را نسبت به گروه کنترل افزایش می‌دهد اما سطوح بالای تنفس (۱۰۳ کیلوپاسکال و ۰/۳ هرتز) از تولید بافت غضروفی ممانعت می‌کند. این نتایج با نتایج به دست آمده توسط گروه لی، مغایرت دارد که این تناقض می‌تواند به دلیل تفاوت در روش آزمایش، داربست و سلول‌های مورد استفاده باشد [۵۰].

لی (Lee) و همکاران با استفاده از راکتور زیستی خود به بررسی تأثیر LIUS (امواج مافوق صوت با شدت کم: Low Intensity Ultrasound) بر تمایز سلول‌های بنیادی مزانشیمال خرگوش کشت داده شده در داربست آژینات (Alginate) پرداختند. سلول‌ها هر ۱۲ ساعت یک بار، در یک دوره ۱۰ دقیقه‌ای، به مدت ۱ یا ۲ هفته، تحت LIUS قرار گرفتند. فرکانس و شدت مورد مطالعه با توجه به کارهای پیشین، به ترتیب برابر ۱ و ۲۰۰ مگاهرتز انتخاب شد. بر طبق این بررسی‌ها استفاده از LIUS برای تحریک سلول، باعث افزایش تشکیل ماتریس سلولی، بیان نشانگرهای غضروفی نظیر کلاژن نوع ۲، اگریکان و SOX-9 و ایجاد ظرفیت حفظ فنوتاپ غضروفی سلول‌ها در یک تک لایه سلولی می‌شود. با توجه به این که نتایج به دست آمده، بدون استفاده از TGF- β ۱ حاصل شده است، این روش مقرون به صرفه بوده و برای تمایز سلول‌های بنیادی به سمت بافت غضروف مناسب است [۵۱].

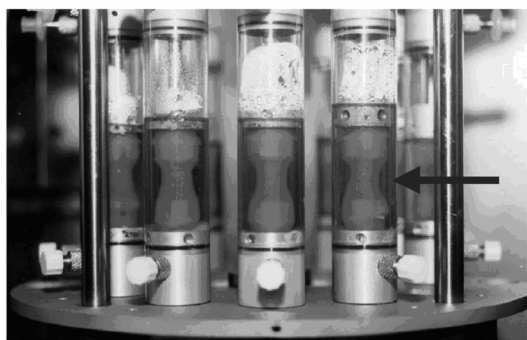
با توجه به جدول ۲، بارگذاری‌های وارد بر انواع سلول‌های بنیادی به منظور تمایز به سمت بافت غضروف شامل استفاده از امواج مافوق صوت با شدت کم، نتش فشاری دوره‌ای، فشار هیدرواستاتیک، ترکیب نتش برشی و فشاری و نتش برشی ناشی از جریان سیال است. در این جدول شرایط بارگذاری و سلول‌های بنیادی اولیه‌ای که به منظور تمایز به سمت بافت غضروف مورد مطالعه قرار گرفته‌اند به صورت خلاصه بیان شده است.

(Cell Hypertrophy) آن‌ها جلوگیری شود که این حالت با کاهش ترشح GAG همراه است. طبق نتایج ارایه شده توسط اسکاتی و همکاران، با توجه به میزان GAG موجود در محیط کشت در مراحل مختلف، برای گروه تحت نتش فشاری و برشی، میزان GAG موجود در محیط کشت در مراحل مختلف ثابت بوده است اما در گروه‌های دیگر کاهش میزان GAG مشاهده شده است و این موضوع نشان‌دهنده حفظ فنوتاپ غضروفی سلول‌ها در حالت استفاده از ترکیب نتش‌ها است. به علاوه، نتایج کار این گروه نشان‌دهنده آن است که با استفاده از ترکیب نتش فشاری و برشی می‌توان به سلول‌های غضروفی با خلوص بالا دست یافت. به علاوه، نشانگرهای مربوط به سلول‌های استخوان و سلول‌های هایپرتروفی شده در این گروه مشاهده نشده است. همچنین بیان نشانگرهای سلول‌های غضروف که COMP, AGG, col2, TGF- β ۱, SOX9 است، در گروه تحت ترکیب نتش برشی و فشاری به طور معنی‌داری بیشتر بوده است. مطالعات قبلی نشان‌دهنده آن است که استفاده از TGF- β ۱ (Transforming Growth Factor Beta 1) قبل از بارگذاری، بهتر از کاربرد مستقیم TGF- β ۱ حین بارگذاری است. با توجه به یافته‌های موجود در این پژوهش و یافته‌های قبلی، می‌توان نتیجه گرفت که استفاده از عوامل رشد به تنها بیانی یا استفاده از نتش برشی علاوه بر نتش فشاری، قبل از اعمال نتش تک محوره برای تمایز به سمت بافت غضروف لازم است. به همین دلیل شرایط مکانیکی محیطی (در جایی که عامل رشد حضور ندارد) در تعیین فنوتاپ سلول هدف تأثیرگذار است [۱۱].

موکهرجی (Mukherjee) و همکاران به بررسی تأثیر نتش فشاری سیال دینامیکی بر سلول‌های به دست آمده از ضریع استخوان پرداختند. برای این کار، نمونه‌ها در آگارز قرار داده شد و به مدت ۳۰ دقیقه در روز، ۴ ساعت در روز و ۲۴ ساعت در روز با فرکانس ۰/۳ هرتز تحت نتش‌های با دامنه‌های

جدول ۲ خلاصه‌ای از رژیم‌های بارگذاری مختلف روی انواع سلول‌های بنیادی به منظور تمایز به سمت سلول‌های غضروف (rBMSC= rat BMSC)

نوع سلول مورد استفاده	نوع بارگذاری	شرابط بارگذاری	خلاصه تابع	مراجع
hASC	تنش هیدرواستاتیک متناوب	تنش هیدرواستاتیک ۵ مگاپاسکال، فرکانس ۰/۵ هرتز، ۴ ساعت در روز و به مدت ۷ روز	افزایش بیان کلازن نوع ۲، اگریکان (Aggrecan) و Sox-9	[۴۸]
MSC خرگوشی	استفاده از امواج مافق صوت با شدت کم	فرکانس ۱ مگاهرتز، شدت موج ۲۰۰ میلیوات بر ساعتی متر مریع، هر ۱۲ ساعت بیکبار به مدت ۱۰ دقیقه به مدت ۱ یا ۲ هفته	بیان نشانگرهای ۹-Sox، اگریکان، کلازن نوع ۲ و (Tissue Inhibitor of Metalloproteinases) TIMP-2	[۵۱]
rBMSC	استفاده از امواج مافق صوت با شدت کم	فرکانس ۰/۸ مگاهرتز، شدت موج ۲۰۰ میلیوات بر ساعتی متر مریع، هر ۱۰ دقیقه در روز و به مدت ۴ هفته	عدم تفاوت معنی‌دار در محتوای DNA، افزایش معنی‌دار کلازن و GAG در گروه تحت تحریک، افزایش ترشح ECM و استحکام سلول‌های تحت تحریک گروه تحت تحریک ۲۰ دقیقه در روز؛ عدم تفاوت معنی‌دار در محتوای پروتوگلایکن (Proteoglycan) و کلازن حین تمایز؛ کاهش بیان نشانگرهای غضروفی گروه تحت تحریک ۴۰ دقیقه در روز؛ عدم تفاوت معنی‌دار در بیان پروتوگلایکن و کلازن ۲۱ روز بعد از کشت؛ افزایش بیان نشانگرهای غضروفی	[۵۲]
hBMSC	استفاده از امواج مافق صوت با شدت کم	تنش فشاری ۲۰ و ۴۰ دقیقه در روز، در مدت ۷ روز اول کشت	گروه تحت تحریک ۱۰۳ کیلوپاسکال یا به صورت مرحله‌ای ۱۳ به ۵۴ به ۱۰۳ کیلوپاسکال، ۳۰ دقیقه در روز، ۴ ساعت در روز و ۲۴ ساعت در روز، فرکانس ۰/۳ هرتز	[۵۳]
سلول‌های به دست آمده از ضریع استخوان	تنش فشاری دوره‌ای	تنش فشاری ۱۳ تا ۱۰۳ کیلوپاسکال یا به ۱۰ درصد و ۲۰ درصد، ۱ ساعت در روز، به مدت ۷ روز؛ رژیم‌های ۰/۱ هرتز و ۲۰ درصد، ۱ هرتز و ۱۰ درصد و ۱ هرتز و ۲۰ درصد پیشترین تأثیر را بر تمایز به سمت غضروف داشته است.	افزایش بیان ژن Col-2 و AGG و افزایش تولید GAG	[۵۰]
hMSC	تنش فشاری دوره‌ای	تنش فشاری دوره‌ای ۰/۱ هرتز، دامنه کرنش ۵ درصد، ۱۰ درصد و ۲۰ درصد، ۱ ساعت در روز، به مدت ۷ روز؛ رژیم‌های ۰/۱ هرتز و ۲۰ درصد، ۱ هرتز و ۱۰ درصد و ۱ هرتز و ۲۰ درصد پیشترین تأثیر را بر تمایز به سمت غضروف داشته است.	افزایش بیان ژن Col-2 و AGG و افزایش تولید GAG	[۱۰]
hBMSC	تنش برشی و فشاری دوره‌ای	تنش فشاری دوره‌ای ۰/۴ میلی‌متر و جابه‌جاگی عمودی و چرخشی افزایش در گروه تحت جابه‌جاگی عمودی و چرخشی افزایش بیان ژن Col-2، Col-9 و COMP، AGG و عدم بیان ALP و Col-10	در گروه تحت جابه‌جاگی عمودی و چرخشی افزایش افزایش بیان ژن کلازن نوع ۲ و اگریکان	[۱۱]
hBMSC	تنش فشاری دوره‌ای	تنش فشاری دوره‌ای ۰/۳۳ هرتز به مدت ۷ روز	افزایش بیان ژن کلازن نوع ۲ و اگریکان	[۵۴]
BMSC خرگوشی	تنش فشاری دوره‌ای	کرنش ۱۰ درصد به مدت ۱۴ روز	افزایش بیان ژن کلازن نوع ۲ و اگریکان	[۵۵]
BMSC گاوی	تنش فشاری دوره‌ای	کرنش ۱۰ درصد به مدت ۱۶ روز	افزایش بیان ژن کلازن نوع ۲ و اگریکان	[۵۶]
BMSC خرگوشی	تنش فشاری دوره‌ای	کرنش ۱۵ درصد، فرکانس ۱ هرتز، ۴ ساعت در روز به مدت ۲ روز	افزایش بیان ژن و پروتوتین-9 Sox و TGF-B	[۳۶]
hMSC	تنش فشاری متناوب	۰/۱ مگاپاسکال به مدت ۱۴ روز	افزایش بیان ژن ۹-Sox و اگریکان	[۵۸، ۵۷]
hMSC	تنش فشاری دوره‌ای	۱۰ مگاپاسکال به مدت ۱۴ روز	افزایش بیان ژن کلازن نوع ۲	[۵۹]
hMSC	تنش فشاری دوره‌ای	کرنش ۱۰ درصد، فرکانس ۰/۵ هرتز و ۱ هرتز، ۸ ساعت در روز به مدت ۲ روز	افزایش بیان ژن اگریکان در همه فرکانس‌ها، افزایش کلازن نوع ۲ تنها در فرکانس ۱ هرتز	[۵۹]
hMSC	تنش هیدرواستاتیک دوره‌ای	روز اول ۱ مگاپاسکال و روزهای بعد هر روز ۰/۵ مگاپاسکال به آن اضافه شده است و به میزان ۴ ساعت در روز، بعد از ۱۴ روز به دامنه ۷/۵ مگاپاسکال رسیده و سپس به مدت ۱۴ روز با همین دامنه، فرکانس ۱ هرتز و ۴ ساعت در روز تحریک انجام شده است.	افزایش گذرا در بیان ژن Sox-9 با هر دو نوع بارگذاری، عدم تغییر در بیان کلازن نوع ۲ و اگریکان	[۳۴]
hMSC	تنش هیدرواستاتیک متناوب	۱ مگاپاسکال، فرکانس ۱ هرتز، ۴ ساعت در روز به مدت ۱۰ روز	افزایش بیان ژن کلازن نوع ۲، اگریکان، ۹-Sox و کلازن نوع ۱؛ افزایش انشاستگی پروتوگلایکن، عدم تغییر در Runt-Related Transcription Factor (Runx2) سطح mRNA (2)	[۶۰]



شکل ۵ نمایش محفظه‌های جداگانه راکتور زیستی که در دستگاه مکانیکی قرار گرفته است. فلش نشان دهنده ژل کلاژن قرار گرفته بین دو گیره استخوانی است که تحت کرنش طولی و پیچشی قرار می‌گیرد [۶۱].

جانکوزا-ملوین (Juncosa-Melvin) و همکاران با توجه به مطالعات گذشته خود به این موضوع پی بردنده که تحریک مکانیکی می‌تواند سختی ساختار اسفننجی سلول بنیادی-کلاژن را در عرض ۱۴ روز در شرایط کشت افزایش دهد و به دنبال آن بعد از گذشت ۱۲ هفته از جراحی تاندون پتالار (Patellar Tendon) خرگوش، باعث ترمیم آن شود. این گروه برای تعیین ژن‌های مؤثر در افزایش سختی، سلول‌های بنیادی مزانشیمال خرگوش را در داربست اسفننجی کلاژن نوع ۱، تحت کشش قرار داده و بیان ژن‌ها را بررسی کردند. ساختار سلول-داریست هر ۵ دقیقه یک بار، ۸ ساعت در روز، به مدت ۲ هفته، تحت کرنش $\frac{2}{4}$ درصد قرار گرفت و سلول‌های گروه کنترل بدون تحریک مکانیکی در انکوباتور قرار داده شدند [۶۲]. نتایج نشان می‌دهد که دو هفته تحریک مکانیکی در محیط آزمایشگاه، بیان ژن‌های کلاژن نوع ۱ و ۳ را به طور معنی‌دار افزایش داده است. همچنین ساختار تحت تحریک، استحکام خطی را $\frac{2}{5}$ برابر و مدول خطی را $\frac{4}{4}$ برابر نسبت به گروه بدون تحریک افزایش داده است.

جدول ۳ بیان‌کننده خلاصه‌ای از رژیم‌های بارگذاری وارد بر انواع سلول‌های بنیادی به منظور تمایز به سمت رده سلول‌های بافت لیگامنت و تاندون است.

تحریک‌های مکانیکی و تمایز به سمت سلول‌های تاندون (Tendon) و لیگامنت (Ligament)

آلتمن (Altman) و همکاران با استفاده از یک راکتور زیستی که قادر به اعمال کرنش طولی و پیچشی به سلول‌های قرار داده شده در ژل کلاژن است، این رژیم‌های بارگذاری را بررسی نمودند (شکل ۵). این گروه از هیچ‌گونه عامل رشد یا عامل تمایزی در محیط کشت استفاده نکردند تا تنها اثر تحریک مکانیکی را بر سرنوشت سلول بررسی کنند. کرنش طولی 10° درصد ($2\text{ میلیمتر جابه‌جایی}$) و کرنش چرخشی 25° درصد (90° درجه) به صورت همزمان و با فرکانس $0/0167$ هرتز به سلول‌های بنیادی به دست آمده از مغز استخوان (انسان و گاو) که در ژل کلاژن کشت داده شده بودند، اعمال شد. سلول‌های گروه کنترل بدون قرارگیری تحت تحریک مکانیکی، درون راکتور زیستی مشابه قرار داده شدند تا با سلول‌های تحت تحریک مقایسه شوند [۶۱]. سازمان یافته‌گی هلیکال (Helical Fibre) فیبرهای کلاژن در گروه تحت تحریک مکانیکی، ویژگی است که در گروه کنترل مشاهده نشد. سلول‌های به دست آمده از مغز استخوان انسان و گاو که تحت تحریک مکانیکی قرار داشتند، ریخت‌شناسی کشیده سلول‌های شبیه لیگامنت را به خود گرفتند و در جهت بارگذاری جهت‌گیری نمودند. این در حالی بود که در گروه کنترل، شکل گرد و جهت‌گیری تصادفی در سلول‌ها مشاهده شد. کلاژن نوع ۱ و ۳ و فیبرونکتین (Fibronectin) (نشانگرهای ماتریس خارج سلولی لیگامنت) همگی در گروه تحت تحریک مکانیکی بیان شد در حالی که این نشانگرهای برای گروه کنترل بیان نشد. همچنین mRNAهای استئوکلسین و استئوپوتین که بیان‌کننده تمایز سلول‌های اجدادی به سمت رده استخوان است، در گروه تحت تحریک مکانیکی بیان نشد. این نتایج نیز نشان‌دهنده تمایز اختصاصی به سمت بافت لیگامنت است و می‌توان نتیجه گرفت که استفاده از این رژیم بارگذاری، تمایز انتخابی سلول‌های اجدادی مزانشیمال به سمت سلول‌های لیگامنت را سبب می‌شود.

جدول ۳ خلاصه‌ای از رژیم‌های بارگذاری مختلف روی انواع سلول‌های پنیادی به منظور تمایز به سمت سلول‌های لیگامنت و تاندون

مرجع	خلاصه نتایج	شرایط بارگذاری	نوع سلول مورد استفاده
[۶۱]	افزایش بیان ژن کلائز نوع ۱ و ۳، tenascin-C. افزایش جهت‌گیری سلولی، چگالی و تشکیل فیبرهای کلائز جهت دار	کرنش طولی ۱۰ درصد و کرنش پیچشی ۲۵ درصد، فرکانس ۰/۰۱۶۷ هرتز	انسانی و گاوی BMSC
[۶۲]	افزایش بیان کلائز نوع ۱ و ۳	کرنش ۲/۴ درصد، ۸ ساعت در روز، ۲ هفته	کشش دوره‌ای MSC خرگوش
[۶۳]	افزایش بیان ژن کلائز نوع ۲ و ۳	کرنش ۴ درصد، ۸ ساعت در روز، ۲ هفته	کشش دوره‌ای MSC خرگوش
[۳۵]	افزایش بیان ژن کلائز نوع ۱، ۳ و C-tenascin	درصد، ۴۸ ساعت	کشش دو محوره دوره‌ای hMSC

جدول ۴ خلاصه‌ای از رژیم‌های بارگذاری مختلف روی انواع سلول‌های پنیادی به منظور تمایز به سمت سلول‌های عضله صاف

مرجع	خلاصه نتایج	شرایط بارگذاری	نوع سلول مورد استفاده
[۶۶]	افزایش گذرآ در بیان a-SMA و کلائز نوع ۱ در حالت کشش تک محوره	کشش تک محوره و دو محوره دوره‌ای ۱۰ درصد، ۱ هرتز، ۱ تا ۳ روز	hMSC
[۶۷]	افزایش در بیان ژن و پروتئین a-SMA و SMMHC آثر هم افزایی (Synergetic) با TGF-B1	کشش دو محوره دوره‌ای ۱۰ درصد، ۱ هرتز، ۶ روز	سلول اجدادی جنینی موش
[۶۸]	افزایش بیان ژن و پروتئین نشانگرهای SM-MHC و a-SMA و VSMC	کشش تک محوره دوره‌ای ۲، ۴، ۸ و ۱۲ درصد، ۱ هرتز، ۲۴ ساعت	سلول بنیادی جنینی موش
[۶۹]	افزایش بیان ژن نشانگر عضله صاف calponin 1، کاهش بیان ژن نشانگرهای COMP، biglycan، XIa 1a و XIa	کشش تک محوره دوره‌ای ۵ درصد، ۱ هرتز، ۲ تا ۴ روز	hMSC
[۷۰]	افزایش بیان ژن‌های MyoD، Myf5، Myf6 و MyoG	کشش تک محوره دوره‌ای ۱۰ درصد، ۱ هرتز، ۲۴ ساعت	hMSC

به دست آمده از مغز استخوان را درون ماتریس سه بعدی ژل فیبرینی کشت دادند و تحت کشش دوره‌ای تک محوره با فرکانس ۱ هرتز با دامنه ۱۰ درصد و به مدت ۶ روز قرار دادند. در این پژوهش از دو گروه کنترل استفاده شد. یک گروه تحت هیچ‌گونه تنشی قرار نگرفت و گروه دیگر تحت کشش استاتیک واقع شدند تا بتوان بین این حالت‌ها نیز مقایسه‌ای انجام داد. بافت هدف این گروه سلول‌های عضله صاف بود که

تحریک‌های مکانیکی و تمایز به سمت سلول‌های عضله صاف

نیپونیک (Nieponice) و همکاران با استفاده از یک راکتور زیستی با قابلیت اعمال کشش تک محوره، تأثیر این رژیم بارگذاری بر سرنوشت سلول‌های اجدادی به دست آمده از مغز استخوان را بررسی کردند. این گروه سلول‌های اجدادی

تحریک مکانیکی و سلول‌های بنیادی

اجدادی مزانشیمال جنینی موش اعمال نمودند. این گروه سلول‌ها را تحت تنفس برشی ۱۵ دین بر سانتی‌متر مربع و به مدت ۶ و ۱۲ ساعت قرار دادند. نتایج نشان داد که نشانگرهای سلول‌های اندوتیال بالغ نظیر CD31 و عامل ون‌ویلبرند (Von Willebrand Factor) بیان شد. همچنین تنفس برشی باعث افزایش عملکرد سلول‌های اندوتیال شده و رگزایی را نیز افزایش داده است. در مقابل نشانگرهای مربوط به سلول‌های عضله صاف بیان نشند که این امر نشان دهنده تمایز اختصاصی سلول‌هاست [۷۱].

گروه یاماموتو (Yamamoto) نیز از جریان سیال برای اعمال تنفس برشی به سلول‌ها استفاده نمودند. راکتور زیستی مورد استفاده توسط این گروه از یک محفظه برای کشت سلول، یک ورودی و خروجی تشکیل شده است. در قسمت ورودی یک مخزن محیط کشت وجود دارد که تحت یک فشار ثابت قرار دارد، به همین دلیل یک جریان سیال پایدار از ورودی راکتور زیستی به سمت خروجی تشکیل می‌شود. در این مطالعه سلول‌ها تحت تنفس‌های ۱/۵ تا ۱۰ دین بر سانتی‌متر مربع و به مدت ۱ تا ۳ روز قرار گرفتند. نتایج حاصل از کار این گروه کترول (که تحت هیچ‌گونه تنفس برشی نسبت به گروه کترول) داشتند و تنفس برشی می‌تواند باعث تمایز سلول‌های بنیادی به سمت رده سلول‌های اندوتیال شود. از آنجا که جریان سیال علاوه بر اعمال نیروی مکانیکی به سلول‌ها باعث افزایش انتقال مواد غذایی و گازها می‌شود، این گروه از دو سیال با وسکوزیت (Viscosity) متفاوت استفاده نمودند تا بتوانند تنها اثر تحریک مکانیکی را به صورت مستقل از انتقال مواد غذایی بررسی کنند. نتایج این آزمایش‌ها نیز نشان داد که حساسیت سلول‌های بنیادی به جریان سیال بیشتر تحت تأثیر تحریک مکانیکی ناشی از آن است و انتقال مواد نظیر عوامل رشد [برای مثال VEGF] تأثیر کمتری بر تکثیر و تمایز ناشی از جریان سیال دارد [۷۲].

شجاعی و همکاران توسط دستگاه طراحی شده توانستند تنفس برشی و کشش دورهای را به طور مجزا و همچنین به طور

با الهام از حالت طبیعی بدن، این رژیم بارگذاری انتخاب شد. بر اساس مطالعه‌ای که تحت نظر نبیونیک انجام گرفت، تنفس استاتیک ایجاد شده در اثر فشردگی ژل فیبرین، باعث تغییر در ریخت‌شناسی و بیان ژن‌های سلول‌های عضله صاف شد. این تأثیر با اعمال کرنش ۱۰ درصد افزایش یافت. برخلاف مطالعات قبلی این گروه که BMSC‌های (Bone Marrow Mesenchymal Stem Cell) کشت شده به صورت تک لایه، تمایل داشتند در جهت عمود بر کرنش اعمال شده جهت گیری کنند، در این پژوهش محور طولی BMSC‌ها در جهت موازی با کرنش در ژل سه بعدی جهت گیری نمود [۶۴، ۶۵]. عدم بیان نشانگر CD31 نشان دهنده عدم حضور نشانگرهای اندوتیال است که این امر نشان دهنده تمایز اختصاصی با این روش است. همچنین تولید کلائز در حالت مقید و مقید تحت کشش افزایش یافته است. مطابق با مطالعه قبلی این گروه، با استفاده از تک لایه سلول‌ها، کشش دورهای تک محوره باعث کاهش تکثیر BMSC‌ها می‌شود. با وجود این که BMSC (Smooth Muscle Cell) SMC عوامل شیمیایی می‌تواند به تبدیل شوند، با این حال مشاهدات نشان داده‌اند که تحریک‌های مکانیکی برای حفظ فوتایپ انقباضی SMC‌ها لازم است و عوامل شیمیایی به تنها برای تمایز BMSC‌ها به سمت SMC‌های با عملکرد مناسب کافی نیست [۶۵].

تحریک مکانیکی نقش مهمی در جهت گیری ECM (Extracellular matrix) و تغییر ریخت‌شناسی BMSC‌های متمایز شده به سمت SMC‌ها و نیز SMC‌های کشت داده شده ایفا می‌کند [۶۴، ۶۵]. در جدول ۴ خلاصه‌ای از انواع بارگذاری‌های انجام شده روی انواع سلول‌های بنیادی به منظور تمایز به سمت رده سلول‌های عضله صاف ارایه شده است.

تحریک‌های مکانیکی و تمایز به سمت سلول‌های اندوتیال

وانگ (Wang) و همکاران با استفاده از جریان صفحات موازی، تنفس برشی ناشی از جریان سیال را به رده سلول‌های

و (vascular endothelial Cadherin) VE-cadherin افزایش یافت. اعمال کشش دوره‌ای به تنها ی و اعمال همزمان تنش برشی و کشش دوره‌ای توانست تغییر محسوسی در میزان بیان ژن VE-cadherin داشته باشد [۷۳].

جدول ۵ خلاصه‌ای از رژیم‌های بارگذاری وارد بر سلول‌های بنیادی به منظور تمایز به سمت سلول‌های اندوتیال را نشان می‌دهد.

همزمان بر سلول‌های بنیادی مزانشیمی استخراج شده از بافت چربی انسان اعمال نمایند. کشش دوره‌ای ۱۰ درصد با فرکانس ۱ هرتز، در مدت زمان ۲۴ ساعت و تنش برشی ۰ تا ۲/۵ دین بر سانتی‌متر مربع با فرکانس ۱ هرتز نیز در مدت زمان ۲۴ ساعت به طور جداگانه و هم زمان بر سلول‌ها وارد شد. نتایج نشان داد که با اعمال تنش برشی میزان بیان ژن‌های تمایزی اندوتیال-۱ (von Willebrand Factor) vWF، (Fetal Liver Kinase 1) FLK-1

جدول ۵ خلاصه‌ای از رژیم‌های بارگذاری مختلف روی انواع سلول‌های بنیادی به منظور تمایز به سمت سلول‌های اندوتیال

نوع سلول مورد استفاده	نوع بارگذاری	شرایط بارگذاری	خلاصه نتایج	مرجع
سلول اجدادی جنینی موش	تشنگ برشی ناشی از جریان پایدار مایع	۱۵ دین بر سانتی‌متر مربع، ۶ و ۱۲ ساعت	افزایش بیان ژن و پروتئین‌های CD31، vWF، VEcadherin و VEGFR، VEGF، کاهش بیان عوامل رگسازی، TGF- <i>b</i> (PDGFR و PDGFb)	[۷۱]
سلول بنیادی جنینی موش	تشنگ برشی ناشی از جریان سیال	۱/۵ تا ۱۰ دین بر سانتی‌متر مربع، ۱ تا ۳ روز	افزایش بیان ژن و پروتئین‌های Flk-1، Flt-1، PECAM-1 و VEcadherin	[۷۲]
سلول بنیادی جنینی موش و hASC	تشنگ برشی و کشش دوره‌ای	۱۰ درصد، ۱ هرتز، ۱۲ ساعت	افزایش بیشتر بیان ژن‌های vWF، FLK-1 و vWF در سلول‌های اندوتیال	[۷۳]
مزانشیمی از بافت پوششی رحم انسان	تشنگ برشی و کشش دوره‌ای	۰-۲/۵ دین بر سانتی‌متر مربع، ۱ هرتز، ۱۲ ساعت	رحم نسبت به بافت چربی	[۷۴]

جدول ۶ نتایج حاصل از کار ماول و همکاران؛ دو علامت پیکان نشان دهنده تأثیر معنی دار فیزیولوژیک و آماری، یک پیکان نشان دهنده تأثیر کمتر و پیکان افقی به معنای تغییرات بسیار ناچیز در آن بخش است [۲۸].

گروه ژن	فشار دوره‌ای (ساعت)		تشنگ دوره‌ای (ساعت)		کشش دوره‌ای (ساعت)		مرجع
	۷۲	۲۴	۷۲	۲۴	۷۲	۲۴	
عضله	↑↑	↓	↓↓	↓	↓	↓	
اندوتیال	↔	↓	↑	↑	↑	↑	
استخوان	↑↑	↑	↔	↑↑	↑	↔	
غضروف	↑	↑	↓	↔	↑	↑↑	
چربی	↔	↔	↑	↔	↔	↔	
ECM	↑	↓	↑	↑↑	↔	↑↑	
تکثیر	↑↑	↔	↓↓	↓↓	↔	↓↓	

با طراحی یک سیستم مکانیکی که قادر به اعمال هر سه نوع تنش فشاری، کششی و برشی است به مقایسه اثر این تحریک‌ها پرداختند. در این سیستم هر بخش مسئول اعمال یک

در مطالعات تحریک مکانیکی سلول کمتر مقاله‌ای یافت می‌شود که به مقایسه تأثیر سه نوع تحریک مکانیکی پرداخته باشد. ماول (Maul) و همکاران یکی از گروههایی هستند که

تحریک مکانیکی و سلول‌های بنیادی

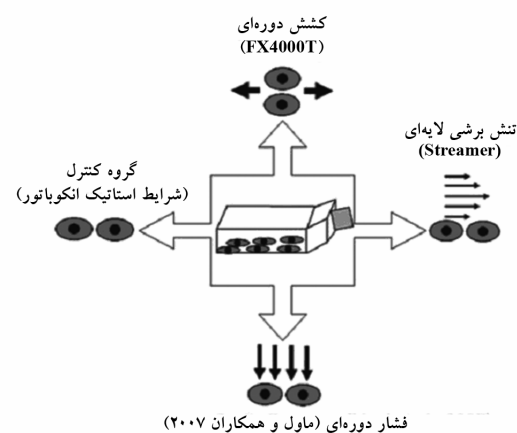
طراحی راکتورهای زیستی است.

اگر چه تمایل به استفاده از سیستم‌های میکروفلوئیدیک (Microfluidic) به دلیل دقیق بالا و هزینه نسبتاً کم، امروزه در بخش‌های مختلف مهندسی بافت و مطالعات دارویی استفاده می‌شود [۷۶، ۷۷] اما در بخش‌های تکثیر و تمایز سلولی با استفاده از تحریک مکانیکی با محدودیت‌هایی روبرو است [۲۶]. در صورتی که بتوان از چنین میکروراکتورهای زیستی به منظور تحریک مکانیکی سلول‌ها استفاده نمود، می‌توان هزینه آزمایش‌ها و زمان لازم برای انجام آزمایش‌ها را به حداقل رساند و با این کار با سرعت بیشتری به پارامترهای بهینه برای تحریک سلول‌ها دست یافت.

متأسفانه هنوز مکانیسم‌های دقیقی برای چگونگی دریافت، انتقال و تبدیل تحریک‌های مکانیکی در بدن به طور کامل شناخته نشده است [۲۱، ۷۸]; بنابراین بررسی اثر تحریک مکانیکی بر سرنوشت سلول‌های بنیادی با چالش‌های زیادی از جمله نوع و رژیم بارگذاری، شرایط بارگذاری و تأثیر هر یک از آن‌ها روبرو است. اگرچه مطالعات زیادی در این زمینه انجام شده است، اما همچنان رژیم بارگذاری خاصی برای ایجاد یک تمایز خاص شناخته نشده است. مقایسه بین نتایج حاصل از پژوهش‌ها در این زمینه عموماً امکان‌پذیر نیست زیرا نوع داربست، نوع سلول، سن سلول، رژیم بارگذاری و عوامل شیمیابی در مطالعات گروه‌های مختلف متفاوت بوده است. این امر وجود نتایج متناقض در برخی مقالات را توجیه می‌کند [۴۶، ۱۱، ۱۰] و بهینه‌سازی پارامترها را با چالش مواجه می‌کند. برای مثال نتایج حاصل از پژوهش اسکاتی و همکاران نشان داد که ترکیب تنش فشاری و برشی برای تمایز سلول‌های بنیادی انسان به سلول‌های غضروف لازم است، اما نتایج بسیاری از گروه‌ها نشان داده است که با استفاده از تنش فشاری به تنها یک نیز می‌توان برای تمایز سلول‌های بنیادی انسان به سمت سلول‌های غضروف استفاده نمود [۵۴، ۴۸، ۱۰].

یکی دیگر از نکات قابل تأمل در بحث تأثیر تحریک‌های مکانیکی بر رفتار سلول‌ها، نوع بارگذاری انتخاب شده برای

نوع تنش خاص است. تنش برشی ناشی از جریان سیال توسط دستگاه Streamer، تنش کششی توسط دستگاه FX400T و تنش فشاری از طریق دستگاه ساخته شده توسط این گروه [۷۴] اعمال شد (شکل ۶). در گروه کنترل، سلول‌های مزانشیمال انسانی تحت هیچ تنشی قرار نگرفت تا برای مقایسه و سنجش استفاده شود. نتایج مقایسه محاول و همکاران به صورت کیفی در جدول ۶ ارایه شده است.



شکل ۶ تحریک مکانیکی به طور خاص به صورت موازی به جمعیت سلول‌ها وارد می‌شود تا پاسخ تمایزی به هر تحریک را نشان دهد [۳۸].

نتیجه‌گیری

مطالعات انجام شده نشان داده است که استفاده از تحریک مکانیکی می‌تواند به تمایز اختصاصی، انتخابی و با سرعت بالاتر سلول‌های بنیادی کمک کند. همچنین استفاده از تحریک مکانیکی برای تمایز انواع سلول‌های بنیادی به رده‌های مختلف سلول‌های بدن از قبیل سلول‌های استخوانی، غضروف، لیگامنت و تاندون، عضله صاف و اندوتیال مطالعه شده است و تقریباً تمام نتایج نشان دهنده تأثیرگذاری این روش بوده است. تأثیر مقابل تنش‌های مکانیکی می‌تواند بر پاسخ سلول به یک تحریک، تأثیرگذار باشد و نتیجه حاصل تنها ناشی از تنش مورد نظر و تحت کنترل نباشد [۷۵]. بنابراین داشتن سیستم بازخورد مناسب در راکتورهای زیستی یکی از چالش‌های

بارگذاری و شکل موج می‌تواند باعث تغییر رفتار مطلوب در سلول‌ها شود. اما در صورتی که هر یک از این پارامترها در محدوده مناسب خود نباشد، نمی‌تواند رفتار مطلوب را به سلول‌القا کند و حتی می‌تواند باعث مرگ و آسیب به سلول شود [۷۹]; بنابراین بهینه‌سازی پارامترهای مکانیکی بسیار اهمیت دارد.

مطالعات انجام شده تا به امروز، بیشتر در بازهٔ تنفس‌های مکانیکی موجود در بدن بوده است. این در حالی است که هدف مهندسی بافت، افزایش سرعت تکثیر، رشد و تمایز سلول‌ها نسبت به حالت فیزیولوژیک بدن است؛ بنابراین شاید استفاده از تنفس‌هایی خارج از این بازه، بازده استفاده از این روش را بیشتر نماید.

سلول‌های گونه‌های مختلف است. برای مثال دامنهٔ بارگذاری یکسان (کرنش ۱۰ درصد) اعمال شده به سلول‌های بنیادی گاو، خرگوش و انسان توانسته است باعث تمایز این سلول‌ها به سلول‌های غضروفی شود؛ هر چند فرکانس و مدت زمان بارگذاری متفاوت بوده است [۵۶، ۵۹، ۵۵]؛ بنابراین می‌توان انتظار داشت که یک پارامتر مکانیکی به تنها یی نمی‌تواند تعیین کنندهٔ رفتار سلول‌ها شود.

تحریک‌های مکانیکی در بدن می‌تواند باعث تغییر در عملکرد بافت شود که می‌تواند مثبت (مثل بهبود خواص مکانیکی استخوان) یا منفی (مثل آسیب به دیواره رگ یا گسترش سرطان به واسطه تغییر خواص ECM) باشد [۷۸]. انتخاب بهینهٔ پارامترهایی نظیر دامنه، فرکانس، مدت زمان

منابع

- [1] Lanza R, Langer R, Vacanti J. Principles of tissue engineering. 3rd Edition, Amsterdam; Boston: Elsevier Academic Press, 2007; p: 135-50, 550-65.
- [2] Freed LE, Guilak F, Guo XE, Gray ML, Tranquillo R, Holmes JW, Radisic M, Sefton MV, Kaplan D, Vunjak-Novakovic G. Advanced tools for tissue engineering: scaffolds, bioreactors, and signaling. *Tissue Eng* 2006; 12(12): 3285-305.
- [3] Goldstein LSB, Schneider M. Stem cells for dummies. Hoboken, NJ: Wiley Publishing, Inc, 2010; p: 19-25, 99-119.
- [4] Li S, L'Heureux N, Elisseeff J. Stem cell and tissue engineering. Singapore: World Scientific, 2011; p: 1-10.
- [5] Kim JH, Cho CS, Choung YH, Lim KT, Son HM, Seonwoo H, Baik SJ, Jeon SH, Park JY, Choung PH, Chung JH. Mechanical stimulation of mesenchymal stem cells for tissue engineering. *TERM* 2009; 6(1): 199-206.
- [6] Wang JH, Thampatty BP. Mechanobiology of adult and stem cells. *Int Rev Cell Mol Biol* 2008; 271: 301-46.
- [7] Li D, Zhou J, Chowdhury F, Cheng J, Wang N, Wang F. Role of mechanical factors in fate decisions of stem cells. *Regen Med* 2011; 6(2): 229-40.
- [8] Clause KC, Liu LJ, Tobita K. Directed stem cell differentiation: the role of physical forces. *Cell Commun Adhes* 2010; 17(2): 48-54.
- [9] Ikada Y. Tissue engineering: fundamentals and applications. Amsterdam; Boston: Academic Press/ Elsevier, 2006; p: 51-65.
- [10] Li Z, Yao SJ, Alini M, Stoddart MJ. Chondrogenesis of human bone marrow mesenchymal stem cells in fibrin-polyurethane composites is modulated by frequency and amplitude of dynamic compression and shear stress. *Tissue Eng Part A* 2010; 16(2): 575-84.

تحریک مکانیکی و سلولهای بنیادی

- [11] Schätti O, Grad S, Goldhahn J, Salzmann G, Li Z, Alini M, Stoddart MJ. A combination of shear and dynamic compression leads to mechanically induced chondrogenesis of human mesenchymal stem cells. *Eur Cell Mater* 2011; 22: 214-25.
- [12] Kasper C, Griensven M, Portner R, Al-Rubeai M. Bioreactor systems for tissue engineering. Berlin: Springer, 2009; p: 95-125.
- [13] Carter DR. Mechanical loading histories and cortical bone remodeling. *Calcif Tissue Int* 1984; 36 Suppl 1: S19-24.
- [14] Skedros JG, Brand RA. Biographical sketch: Georg Hermann von Meyer (1815-1892). *Clin Orthop Relat Res* 2011; 469(11): 3072-6.
- [15] Phillips ATM. Structural optimisation: biomechanics of the femur. *Eng Comput Mech* 2012; 165: 147-54.
- [16] Ethier CR, Simmons CA. Introductory biomechanics: from cells to organisms (Cambridge Text in Biomedical Engineering). Cambridge University Press; 2007; 35-90.
- [17] Brown TD. Techniques for mechanical stimulation of cells in vitro: a review. *J Biomech* 2000; 33(1): 3-14.
- [18] Brown TD. Techniques for cell and tissue culture mechanostimulation: historical and contemporary design considerations. *Iowa Orthop J* 1995; 15: 112-7.
- [19] Orr AW, Helmke BP, Blackman BR, Schwartz MA. Mechanisms of mechanotransduction. *Dev Cell* 2006; 10(1): 11-20.
- [20] Wang N, Tytell JD, Ingber DE. Mechanotransduction at a distance: mechanically coupling the extracellular matrix with the nucleus. *Nat Rev Mol Cell Biol* 2009; 10(1): 75-82.
- [21] Stolberg S, McCloskey KE. Can shear stress direct stem cell fate? *Biotechnol Prog* 2009; 25(1): 10-9.
- [22] Huang H, Kamm RD, Lee RT. Cell mechanics and mechanotransduction: pathways, probes, and physiology. *Am J Physiol Cell Physiol* 2004; 287(1): C1-11.
- [23] Matthews BD, Overby DR, Mannix R, Ingber DE. Cellular adaptation to mechanical stress: role of integrins, Rho, cytoskeletal tension and mechanosensitive ion channels. *J Cell Sci* 2006; 119(Pt 3): 508-18.
- [24] Zhang ZY, Teoh SH, Chong WS, Foo TT, Chng YC, Choolani M, Chan J. A biaxial rotating bioreactor for the culture of fetal mesenchymal stem cells for bone tissue engineering. *Biomaterials* 2009; 30(14): 2694-704.
- [25] Nieponice A, Maul TM, Cumer JM, Soletti L, Vorp DA. Mechanical stimulation induces morphological and phenotypic changes in bone marrow-derived progenitor cells within a three-dimensional fibrin matrix. *J Biomed Mater Res A* 2007; 81(3): 523-30.
- [26] Sim WY, Park SW, Park SH, Min BH, Park SR, Yang SS. A pneumatic micro cell chip for the differentiation of human mesenchymal stem cells under mechanical stimulation. *Lab Chip* 2007; 7(12): 1775-82.
- [27] Zhang ZY, Teoh SH, Teo EY, Khoon Chong MS, Shin CW, Tien FT, Choolani MA, Chan JK. A comparison of bioreactors for culture of fetal mesenchymal stem cells for bone tissue engineering. *Biomaterials* 2010; 31(33): 8684-95.
- [28] Waldman SD, Couto DC, Grynpas MD, Pilliar RM, Kandel RA. A single application of cyclic

- loading can accelerate matrix deposition and enhance the properties of tissue-engineered cartilage. *Osteoarthritis Cartilage* 2006; 14(4): 323-30.
- [29] Singh H, Teoh SH, Low HT, Hutmacher DW. Flow modelling within a scaffold under the influence of uni-axial and bi-axial bioreactor rotation. *J Biotechnol* 2005; 119(2): 181-96.
- [30] Lim CT, Zhou EH, Quek ST. Mechanical models for living cells--a review. *J Biomech* 2006; 39(2): 195-216.
- [31] Kim TK, Jeong OC. Fabrication of a pneumatically driven single-cell trap. *Microelectron Eng* 2011; 88(8): 1768-71.
- [32] Kim TK, Jeong OC. Effect of mechanical stimuli on live cells in a pneumatically driven cell trap. *Microelectron Eng* 2012; 97: 324-8.
- [33] Lee DA, Knight MM, Campbell JJ, Bader DL. Stem cell mechanobiology. *J Cell Biochem* 2011; 112(1): 1-9.
- [34] Finger AR, Sargent CY, Dulaney KO, Bernacki SH, Loba EG. Differential effects on messenger ribonucleic acid expression by bone marrow-derived human mesenchymal stem cells seeded in agarose constructs due to ramped and steady applications of cyclic hydrostatic pressure. *Tissue Eng* 2007; 13(6): 1151-8.
- [35] Chen YJ, Huang CH, Lee IC, Lee YT, Chen MH, Young TH. Effects of cyclic mechanical stretching on the mRNA expression of tendon/ligament-related and osteoblast-specific genes in human mesenchymal stem cells. *Connect Tissue Res* 2008; 49(1): 7-14.
- [36] Huang CY, Reuben PM, Cheung HS. Temporal expression patterns and corresponding protein inductions of early responsive genes in rabbit bone marrow-derived mesenchymal stem cells under cyclic compressive loading. *Stem Cells* 2005; 23(8): 1113-21.
- [37] Cohen DM, Chen CS. Mechanical control of stem cell differentiation. *StemBook* [Internet]. Cambridge (MA): Harvard Stem Cell Institute; 2008; Available at: <http://www.ncbi.nlm.nih.gov/pubmed/20614621>.
- [38] Maul TM, Chew DW, Nieponice A, Vorp DA. Mechanical stimuli differentially control stem cell behavior: morphology, proliferation, and differentiation. *Biomech Model Mechanobiol* 2011; 10(6): 939-53.
- [39] Wu HW, Lin CC, Hwang SM, Chang YJ, Lee GB. A microfluidic device for chemical and mechanical stimulation of mesenchymal stem cells. *Microfluid Nanofluid* 2011; 11(5): 545-56.
- [40] Lee HL, Boccazz P, Ram RJ, Sinskey AJ. Microbioreactor arrays with integrated mixers and fluid injectors for high-throughput experimentation with pH and dissolved oxygen control. *Lab Chip* 2006; 6(9): 1229-35.
- [41] Chen HC, Hu YC. Bioreactors for tissue engineering. *Biotechnol Lett* 2006; 28(18): 1415-23.
- [42] Meinel L, Karageorgiou V, Hofmann S, Fajardo R, Snyder B, Li C, Zichner L, Langer R, Vunjak-Novakovic G, Kaplan DL. Engineering bone-like tissue in vitro using human bone marrow stem cells and silk scaffolds. *J Biomed Mater Res A* 2004; 71(1): 25-34.
- [43] Goldstein AS, Juarez TM, Helmke CD, Gustin MC, Mikos AG. Effect of convection on

تحریک مکانیکی و سلولهای بنیادی

- osteoblastic cell growth and function in biodegradable polymer foam scaffolds. *Biomaterials* 2001; 22(11): 1279-88.
- [44] Koike M, Shimokawa H, Kanno Z, Ohya K, Soma K. Effects of mechanical strain on proliferation and differentiation of bone marrow stromal cell line ST2. *J Bone Miner Metab* 2005; 23(3): 219-25.
- [45] Jagodzinski M, Drescher M, Zeichen J, Hankemeier S, Krettek C, Bosch U, van Griensven M. Effects of cyclic longitudinal mechanical strain and dexamethasone on osteogenic differentiation of human bone marrow stromal cells. *Eur Cell Mater* 2004; 7: 35-41.
- [46] Qi MC, Hu J, Zou SJ, Chen HQ, Zhou HX, Han LC. Mechanical strain induces osteogenic differentiation: Cbfa1 and Ets-1 expression in stretched rat mesenchymal stem cells. *Int J Oral Maxillofac Surg* 2008; 37(5): 453-8.
- [47] Sumanasinghe RD, Bernacki SH, Loba EG. Osteogenic differentiation of human mesenchymal stem cells in collagen matrices: effect of uniaxial cyclic tensile strain on bone morphogenetic protein (BMP-2) mRNA expression. *Tissue Eng* 2006; 12(12): 3459-65.
- [48] Safshekan F, Tafazzoli-Shadpour M, Shokrgozar MA, Haghhipour N, Mahdian R, Hemmati A. Intermittent hydrostatic pressure enhances growth factor-induced chondroinduction of human adipose-derived mesenchymal stem cells. *Artif Organs* 2012; 36(12): 1065-71.
- [49] Wimmer MA, Grad S, Kaup T, Hänni M, Schneider E, Gogolewski S, Alini M. Tribology approach to the engineering and study of articular cartilage. *Tissue Eng* 2004; 10(9-10): 1436-45.
- [50] Mukherjee N, Saris DB, Schultz FM, Berglund LJ, An KN, O' Driscoll SW. The enhancement of periosteal chondrogenesis in organ culture by dynamic fluid pressure. *J Orthop Res* 2001; 19(4): 524-30.
- [51] Lee HJ, Choi BH, Min BH, Son YS, Park SR. Low-intensity ultrasound stimulation enhances chondrogenic differentiation in alginate culture of mesenchymal stem cells. *Artif Organs* 2006; 30(9): 707-15.
- [52] Cui JH, Park K, Park SR, Min BH. Effects of low-intensity ultrasound on chondrogenic differentiation of mesenchymal stem cells embedded in polyglycolic acid: an in vivo study. *Tissue Eng* 2006; 12(1): 75-82.
- [53] Schumann D, Kujat R, Zellner J, Angele MK, Nerlich M, Mayr E, Angele P. Treatment of human mesenchymal stem cells with pulsed low intensity ultrasound enhances the chondrogenic phenotype in vitro. *Biorheology* 2006; 43(3-4): 431-43.
- [54] Angele P, Schumann D, Angele M, Kinner B, Englert C, Hente R, Füchtmeier B, Nerlich M, Neumann C, Kujat R. Cyclic, mechanical compression enhances chondrogenesis of mesenchymal progenitor cells in tissue engineering scaffolds. *Biorheology* 2004; 41(3-4): 335-46.
- [55] Huang CY, Hagar KL, Frost LE, Sun Y, Cheung HS. Effects of cyclic compressive loading on chondrogenesis of rabbit bone-marrow derived mesenchymal stem cells. *Stem Cells* 2004; 22(3): 313-23.
- [56] Mouw JK, Connelly JT, Wilson CG, Michael KE, Levenston ME. Dynamic compression regulates the expression and synthesis of

- chondrocyte-specific matrix molecules in bone marrow stromal cells. *Stem Cells* 2007; 25(3): 655-63.
- [57] Miyanishi K, Trindade MC, Lindsey DP, Beaupré GS, Carter DR, Goodman SB, Schurman DJ, Smith RL. Effects of hydrostatic pressure and transforming growth factor-beta 3 on adult human mesenchymal stem cell chondrogenesis in vitro. *Tissue Eng* 2006; 12(6): 1419-28.
- [58] Miyanishi K, Trindade MC, Lindsey DP, Beaupré GS, Carter DR, Goodman SB, Schurman DJ, Smith RL. Dose- and time-dependent effects of cyclic hydrostatic pressure on transforming growth factor-beta3-induced chondrogenesis by adult human mesenchymal stem cells in vitro. *Tissue Eng* 2006; 12(8): 2253-62.
- [59] Pelaez D, Huang CY, Cheung HS. Cyclic compression maintains viability and induces chondrogenesis of human mesenchymal stem cells in fibrin gel scaffolds. *Stem Cells Dev* 2009; 18(1): 93-102.
- [60] Wagner DR, Lindsey DP, Li KW, Tummala P, Chandran SE, Smith RL, Longaker MT, Carter DR, Beaupre GS. Hydrostatic pressure enhances chondrogenic differentiation of human bone marrow stromal cells in osteochondrogenic medium. *Ann Biomed Eng* 2008; 36(5): 813-20.
- [61] Altman GH, Horan RL, Martin I, Farhadi J, Stark PR, Volloch V, Richmond JC, Vunjak-Novakovic G, Kaplan DL. Cell differentiation by mechanical stress. *FASEB J* 2002; 16(2): 270-2.
- [62] Juncosa-Melvin N, Matlin KS, Holdcraft RW, Nirmalanandhan VS, Butler DL. Mechanical stimulation increases collagen type I and collagen type III gene expression of stem cell-collagen sponge constructs for patellar tendon repair. *Tissue Eng* 2007; 13(6): 1219-26.
- [63] Juncosa-Melvin N, Shearn JT, Boivin GP, Gooch C, Galloway MT, West JR, Nirmalanandhan VS, Bradica G, Butler DL. Effects of mechanical stimulation on the biomechanics and histology of stem cell-collagen sponge constructs for rabbit patellar tendon repair. *Tissue Eng* 2006; 12(8): 2291-300.
- [64] Kanda K, Matsuda T. Mechanical stress-induced orientation and ultrastructural change of smooth muscle cells cultured in three-dimensional collagen lattices. *Cell Transplant* 1994; 3(6): 481-92.
- [65] Grenier G, Rémy-Zolghadri M, Larouche D, Gauvin R, Baker K, Bergeron F, Dupuis D, Langelier E, Rancourt D, Auger FA, Germain L. Tissue reorganization in response to mechanical load increases functionality. *Tissue Eng* 2005; 11(1-2): 90-100.
- [66] Park JS, Chu JS, Cheng C, Chen F, Chen D, Li S. Differential effects of equiaxial and uniaxial strain on mesenchymal stem cells. *Biotechnol Bioeng* 2004; 88(3): 359-68.
- [67] Riha GM, Wang X, Wang H, Chai H, Mu H, Lin PH, Lumsden AB, Yao Q, Chen C. Cyclic strain induces vascular smooth muscle cell differentiation from murine embryonic mesenchymal progenitor cells. *Surgery* 2007; 141(3): 394-402.
- [68] Shimizu N, Yamamoto K, Obi S, Kumagaya S, Masumura T, Shimano Y, Naruse K,

تحریک مکانیکی و سلولهای بنیادی

- Yamashita JK, Igarashi T, Ando J. Cyclic strain induces mouse embryonic stem cell differentiation into vascular smooth muscle cells by activating PDGF receptor beta. *J Appl Physiol* (1985) 2008; 104(3): 766-72.
- [69] Kurpinski K, Chu J, Hashi C, Li S. Anisotropic mechanosensing by mesenchymal stem cells. *Proc Natl Acad Sci U S A* 2006; 103(44): 16095-100.
- [70] Haghishipour N, Heidarian S, Shokrgozar MA, Amirizadeh N. Differential effects of cyclic uniaxial stretch on human mesenchymal stem cell into skeletal muscle cell. *Cell Biol Int* 2012; 36(7): 669-75.
- [71] Wang H, Riha GM, Yan S, Li M, Chai H, Yang H, Yao Q, Chen C. Shear stress induces endothelial differentiation from a murine embryonic mesenchymal progenitor cell line. *Arterioscler Thromb Vasc Biol* 2005; 25(9): 1817-23.
- [72] Yamamoto K, Sokabe T, Watabe T, Miyazono K, Yamashita JK, Obi S, Ohura N, Matsushita A, Kamiya A, Ando J. Fluid shear stress induces differentiation of Flk-1-positive embryonic stem cells into vascular endothelial cells in vitro. *Am J Physiol Heart Circ Physiol* 2005; 288(4): H1915-24.
- [73] Shojaei S, Tafazzoli-Shahdpor M, Shokrgozar MA, Haghishipour N. Effects of mechanical and chemical stimuli on differentiation of human adipose-derived stem cells into endothelial cells. *Int J Artif Organs* 2013; 36(9): 663-73.
- [74] Maul TM, Hamilton DW, Nieponice A, Soletti L, Vorp DA. A new experimental system for the extended application of cyclic hydrostatic pressure to cell culture. *J Biomech Eng* 2007; 129(1): 110-6.
- [75] Van Dyke WS, Sun X, Richard AB, Nauman EA, Akkus O. Novel mechanical bioreactor for concomitant fluid shear stress and substrate strain. *J Biomech* 2012; 45(7): 1323-7.
- [76] Xu F, Wu J, Wang S, Durmus NG, Gurkan UA, Demirci U. Microengineering methods for cell-based microarrays and high-throughput drug-screening applications. *Biofabrication* 2011; 3(3): 034101.
- [77] Chung BG, Kang L, Khademhosseini A. Micro- and nanoscale technologies for tissue engineering and drug discovery applications. *Expert Opin Drug Discov* 2007; 2(12): 1653-68.
- [78] Ross TD, Coon BG, Yun S, Baeyens N, Tanaka K, Ouyang M, Schwartz MA. Integrins in mechanotransduction. *Curr Opin Cell Biol* 2013; 25(5): 613-8.
- [79] Haghishipour N, Tafazzoli-Shahdpor M, Shokrgozar MA, Amini S. Effects of cyclic stretch waveform on endothelial cell morphology using fractal analysis. *Artif Organs* 2010; 34(6): 481-90.